

- [6] Я л а м о в Ю.И., П о д д о с к и н А.Б., Ю ш к а н о в А.А. - Докл. АН СССР, 1980, т. 254, № 2, с. 343-346.
- [7] П о д д о с к и н А.Б., Ю ш к а н о в А.А., Я л а м о в Ю.И. - ЖТФ, 1982, т. 52, № 11, с. 2253-2256.
- [8] И в ч е н к о И.Н., Я л а м о в Ю.И. - Изв. АН СССР, МЖГ, 1968, № 6, с. 139-143.
- [9] G r o s s E.P., Z i e r i n g S. - Phys. Fluids, 1959, v. 2, N 6, p. 701-712.
- [10] S o n e Y., A o k i K. - N.Y., AIAA, 1981, p. 489-503.
- [11] S o g a T. - Phys. Fluids, 1986, v. 29, N 4, p. 976-985.
- [12] I a c o b s e n S.M., B r o s k I.R. - I. Colloid Sci., 1965, v. 20, N 6, p. 544-554.

Арзамасский государственный  
педагогический институт  
им. А.П. Гайдара

Поступило в Редакцию  
19 ноября 1987 г.

Письма в ЖТФ, том 14, вып. 6

26 марта 1988 г.

## ПРОХОЖДЕНИЕ ЧАСТИЦ ЧЕРЕЗ МЕНЯЮЩИЙСЯ ВО ВРЕМЕНИ ПОТЕНЦИАЛЬНЫЙ БАРЬЕР

В.С. К у з н е ц о в

При изучении туннельного эффекта обычно рассматривается прохождение частиц через статический потенциальный барьер [1-3]. Однако при движении частицы в области барьера возможно как возбуждение различных колебаний (электромагнитных [4], плазменных [5], колебаний кристаллической решетки [6, 7], хемосорбированных молекул [8] и др.), так и воздействие этих колебаний на частицу, проявляющееся в возникновении изломов или разрывов на кривых зависимости силы тока и ее производных от прикладываемой разности потенциалов в гетероструктурах при очень низких температурах [9, 10]. Теоретически в разных приближениях задача исследовалась рядом авторов [11-14]. Было обнаружено большое влияние осцилляций барьера на прохождение частиц.

В данной работе на основании строгого квантомеханического расчета рассматривается установившийся процесс прохождения и отражения частиц с массой  $m$  через прямоугольный потенциальный барьер  $U(x, t)$  высота которого меняется со временем  $t$  по гармоническому закону:

$$U(x, t) = \begin{cases} \hbar(V_0 + V_1 \cos(\omega t)) & \text{при } |x| \leq a/2, \\ 0 & \text{при } |x| > a/2, \end{cases}$$

где  $\hbar V_0$ ,  $a$  – высота и ширина барьера,  $\hbar V_1$ ,  $\omega$  – амплитуда и частота модуляции,  $\hbar$  – постоянная Планка.

В области  $x < -a/2$  решение уравнения Шредингера имеет вид:

$$\psi(x, t) = \sum_n' \left\{ \delta_{n,0} e^{i\alpha x} + A(\omega_0 + \omega n) e^{-i\alpha x} \right\} \exp \left\{ -i(\omega_0 + \omega n)t \right\}, \quad (1)$$

где  $\alpha(n) = \sqrt{2m(\omega_0 + \omega n)/\hbar}$ . Первый член в правой части описывает падающую на барьер волну с частотой  $\omega_0$ , второй член при  $\omega_0 + \omega n > 0$  – набор отраженных волн.

В области  $x > a/2$  имеем суперпозицию уходящих от барьера волн:

$$\psi(x, t) = \sum_n C(\omega_0 + \omega n) \exp \left\{ -i \left[ (\omega_0 + \omega n)t - \alpha(n)x \right] \right\}. \quad (2)$$

Из условия непрерывности  $\psi$  и  $\psi'$  в точках  $x = -a/2$  и  $x = a/2$  получаем систему линейных неоднородных уравнений с комплексными коэффициентами для определения  $C(\omega_0 + \omega n)$ :

$$\sum_k' F_{n,k}^{(+)} C(\omega_0 + \omega k) = \delta_{n,0}. \quad (3)$$

Коэффициенты  $A(\omega_0 + \omega n)$  можно выразить через  $C(\omega_0 + \omega n)$ :

$$A(\omega_0 + \omega n) = \sum_k F_{n,k}^{(-)} C(\omega_0 + \omega k), \quad (4)$$

где

$$F_{n,k}^{(\pm)} = \frac{1}{2} \exp \left\{ i a \sqrt{2m(\omega_0 + \omega k)/\hbar} \right\} \sum_l J_{l+n}(V_1/\omega) J_{l+k}(V_1/\omega) \times \\ \times \left\{ \left[ 1 \pm \sqrt{\frac{\omega_0 + \omega k}{\omega_0 + \omega n}} \right] \cos \left( a \sqrt{2m(\omega_0 - V_0 - \omega l)/\hbar} \right) - i \left[ \sqrt{\frac{\omega_0 + \omega k}{\omega_0 + V_0 - \omega l}} \pm \right. \right. \\ \left. \left. \pm \sqrt{\frac{\omega_0 - V_0 - \omega l}{\omega_0 + \omega n}} \right] \sin \left( a \sqrt{2m(\omega_0 - V_0 - \omega l)/\hbar} \right) \right\}, \quad (5)$$

$J_n(V_1/\omega)$  – функция Бесселя.

Из (3) и (4) следует, что осцилляция высоты барьера приводит к возникновению нескольких эквидистантных по энергиям каналов прохождения и отражения частиц, энергии частиц при отражении и прохождении могут меняться.

Из (5) и из свойств функций Бесселя  $J_n(V_1/\omega)$  вытекает, что число слагаемых, дающих существенный вклад в (5), и число  $C(\omega_0 + \omega n)$ , дающих вклад в (2), зависит от  $\omega$ ,  $\omega_0$ ,  $V_0$ ;  $a$ , но в основном определяется величиной модуляции барьера  $V_1/\omega$ , при  $V_1/\omega = 0$  получаем отличное от нуля единственное слагаемое в (5) и  $C(\omega_0)$ . Для любого набора  $\omega$ ,  $\omega_0$ ,  $V_1/\omega$ ,  $V_0$ ,  $a$  существует свое значение  $p$  модуля разности  $n-k$ , начиная с которого значение  $F_{n,k}^{(\pm)}$  с увеличением  $|n-k|$  монотонно убывает по абсолют-

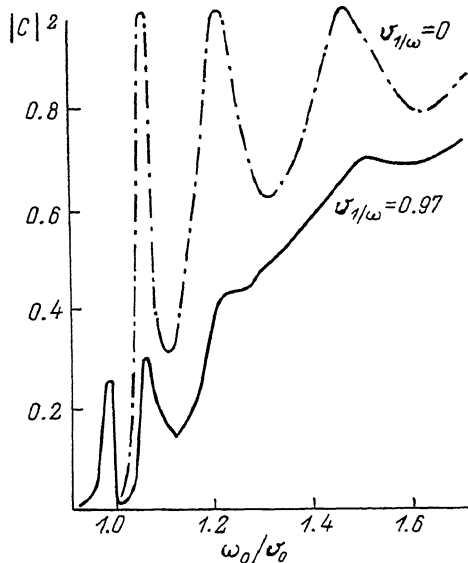


Рис. 1. Зависимость  $|C(\omega_0)|^2$  для основного канала от энергии падающих частиц при  $v_1/\omega = 0.97$  и  $v_1/\omega = 0$ .

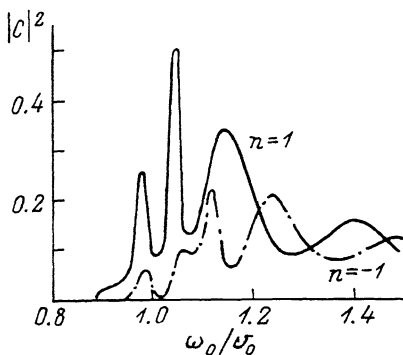


Рис. 2. Зависимость  $|C(\omega_0 + \omega n)|^2$  от  $\omega_0/v_0$  для каналов с  $n = 1$  и  $n = -1$ .

ной величине. Поэтому решение уравнения (3) можно свести к отысканию точного решения системы  $2\rho + 1$  уравнений, а затем воспользоваться теорией возмущений.

Анализ численных расчетов показывает, что временная осцилляция высоты барьера приводит к стимуляции прохождения частиц через основной канал (без изменения энергии) при  $\omega_0 < v_0$  и угнетению при энергиях выше барьера  $\omega_0 > v_0$ . На рис. 1 приведена зависимость  $|C(\omega_0)|^2$  для основного канала от  $\omega_0/v_0$  для  $\hbar v_0 = 0.4$  эВ,  $a = 168$  Å,  $m = 0.065 m_0$ ,  $\omega = 7.10^{12}$  Гц при  $v_1/\omega = 0.97$  и  $v_1/\omega = 0$ .

Прохождение частицы по каналу с  $n \neq 0$  (с изменением энергии) зависит от знака и величины  $n$ , а также от  $v_0$ ,  $v_1/\omega$ ,  $\omega$ ,  $\omega_0$ ,  $a$ . Прозрачность такого канала может превосходить прозрачность основного канала. Величина  $|C(\omega_0 + \omega n)|$  проходит через максимум при резонансном туннелировании, когда энергия частицы в канале совпадает с величиной  $\hbar v_0 + \hbar^2 n^2 / 8 m a^2$ ,  $n = 1, 2, \dots$ . На рис. 2 приведена зависимость  $|C(\omega_0 + \omega n)|^2$  от энергии частиц с  $n = 1$  и  $n = -1$  при  $v_1/\omega = 0.97$ .

Среди решений (3) и (4) имеются  $C(\omega_0 + \omega n)$  и  $A(\omega_0 + \omega n)$  с отрицательными энергиями частиц  $\omega_0 + \omega n < 0$ , описывающие локализацию частиц около барьера.

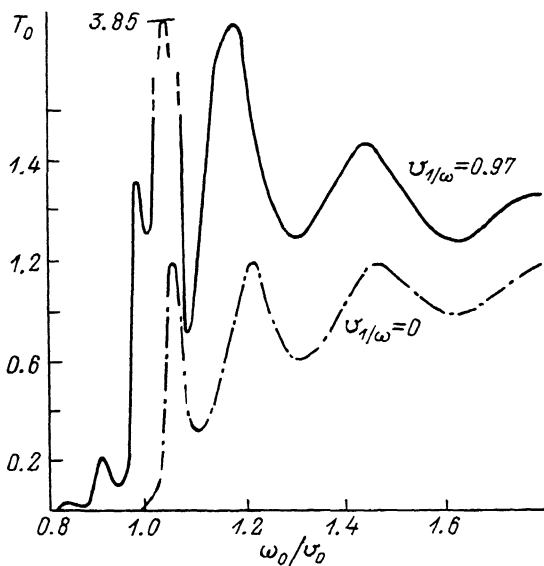


Рис. 3. Зависимость коэффициента прозрачности барьера  $T_0$  от энергии падающих частиц при  $v_1/\omega = 0.97$  и  $v_1/\omega = 0$ .

Из выражения (1) и (2) следует, что плотности тока отраженных и прошедших частиц содержат осциллирующие как в пространстве, так и во времени слагаемые. Причем от координаты  $x$  зависят амплитуды и фазы переменных составляющих токов. Не меняющиеся во времени вклады в величины токов не зависят от  $x$ . При прохождении и при отражении от осциллирующего барьера частицы могут ускоряться, поэтому плотности токов отраженных и прошедших частиц могут существенно превосходить плотность тока падающего на барьер частиц.

Вычисленные по этим токам коэффициенты прозрачности  $T$  и отражения  $R$  являются функциями  $t$  и  $x$ , могут превосходить единицу и  $T+R \geq 1$ . Не зависящие от времени части коэффициентов  $T$  и  $R$  имеют вид:

$$T_0(\omega_0, \omega) = \sum_n \sqrt{1 + \omega n / \omega_0'} \theta(\omega_0 + \omega n) |C(\omega_0 + \omega n)|^2,$$

$$R_0(\omega_0, \omega) = \sum_n \sqrt{1 + \omega n / \omega_0'} \theta(\omega_0 + \omega n) |A(\omega_0 + \omega n)|^2,$$

где  $\theta(y) = 1$  при  $y \geq 0$ ,  $\theta(y) = 0$  при  $y < 0$ .

Анализ численных расчетов показывает, что  $T_0$  и  $R_0$ , как функции от  $\omega_0$ , имеют несколько локальных экстремумов, причем в точках, где функция  $T_0(\omega_0)$  достигает локального максимума, функция  $R_0(\omega_0)$  имеет минимум. Каждая точка соответствует резонансному туннелированию по одному из каналов. На рис. 2 приведена зависимость  $T_0$  от  $\omega_0/v_0$  при  $v_1/\omega = 0.97$  и  $v_1/\omega = 0$ .

- [1] F o w l e r R.H., N o r d h e i m L. - Proc. Roy. Soc., 1928, v. A 119, p. 173.
- [2] S i m m o n s J.G. - J. Appl. Phys., 1963, v. 34, p. 1793.
- [3] Ненакаливаемые катоды / Под ред. Елинсона М.И., 1974, с. 165.
- [4] L a m b e J., M c G a r t h y S.L. - Phys. Rev. Lett., 1976, v. 37, p. 923.
- [5] M c I l r o y P.W., P e r p e r M. - J. Phys. C: Solid State Phys., 1985, v. 18, L 87.
- [6] H i c k m o t t T.W., et al. - Phys. Rev. Lett., 1984, v. 52, p. 2053.
- [7] G r u i m a r a e s P.S.S., et al. - J. Phys. C: Solid State Phys., 1985, v. 18, L 605.
- [8] G r a u t h i e r S., et al., - Surf. Sci., 1985, v. 155, p. 31.
- [9] B i n n i g G., et al. - Appl. Phys. Lett., 1982, v. 40, p. 178.
- [10] Б л ю м и н а М.Г. и др. - Письма в ЖЭТФ, 1986, т. 44, № 5, с. 257.
- [11] B u t t i k e r M., L a n d a u e r R. - Phys. Rev. Lett., 1982, v. 49, p. 1739.
- [12] С о к о л о в с к и й Д.Г., С у м е ц к и й М.Ю. - ТМФ, 1985, т. 64, с. 233.
- [13] S t o n e A.D., et al. - Phys. Rev., 1985, v. B 31, p. 1707.
- [14] R o y D.K., C h o s h A. - Indian J. Pure and Appl. Phys., 1986, v. 24, p. 339.

Ярославский государственный  
университет

Поступило в Редакцию  
15 июля 1987 г.

Письма в ЖТФ, том 14, вып. 6

26 марта 1988 г.

ИССЛЕДОВАНИЕ ИНФРАКРАСНОЙ  
ЛЮМИНЦЕНЦИИ КРИСТАЛЛОВ *GaP*  
МЕТОДОМ ОДМР

П.Г. Б а р а н о в, А.Р. О м е л ь ч у к,  
Н.Г. Р о м а н о в

Оптически детектируемый магнитный резонанс (ОДМР) эффективно используется для исследования спин-зависимой рекомбинации в полупроводниках [1, 2]. В последние годы повышенный интерес проявляется к изучению рекомбинационных процессов, приводящих к люминесценции кристаллов фосфида галлия в инфракрасной области [3-6]. В настоящей работе сообщается о наблюдении новых спектров